

間組(株) 正員 織田 隆夫  
官崎大学工学部 正員 原田 隆典

1. まえがき 図-1はSMART-1による最大加速度の空間分布の一例である。この領域の地盤はある程度一様であるにもかかわらず、最大加速度は空間的に大きくなつてることが認められる。本文では、地中構造物の耐震解析を目的として、このような地震動の空間的変動について、確率過程理論の援用により、“地盤変形スペクトル”としてまとめたので、その概要を報告する。

2. SMART-1データの確率的解析 SMART-1では同時観測のできる地震計が図-2に示すように配置されている。本報告の解析は、1981年1月29日、M=6.9の地震(Event 5)の加速度記録の強震部分7秒間を対象に、まず、この加速度記録を変位波に変換した。次に、地震動の伝播方向等の推定を目的に、各地点の記録に対して座標軸を回転させて、ひし形の相互相関( $E[\dot{u}_i(t)\dot{v}_j(t)]$ )が零になるように座標回転角 $\phi$ を求める(図-2参照)。全地点での平均的な値として、 $\phi = 77^\circ$ を解析に採用した。 $\phi = 77^\circ$ に対する座標軸に関して、記録されたEW成分とNS成分を変換したものとそれを $\dot{u}_i(t), \dot{v}_j(t)$ ( $i$  地点)とし、これらが定常均質過程であると、地震時の地盤の空間相關係数は、(1)式により決定できる。(1)式において、 $\zeta_1, \zeta_2$ は2地点間の水平方向距離、 $T_u$ は継続時間である。なお、ここでの空間相関は、各波形の2乗平均でその波形を標準化して得られた波形に対して、(1)式を用いて計算した。こうして求めた空間相関を(2)式のように近似してみた。(2)式において、 $\alpha$ は地盤の変動を規定するパラメータで( $X$ -トル)の次元を持ち、 $\alpha_{u1}, \alpha_{v1}$ はそれを水平方向、 $y$ 方向ごとの地盤変位の標準偏差である。 $\alpha$ の値を求めるために、(1)式より計算したEvent 5の空間相関( $\alpha_{u1}$ )と $\alpha_{v1} = 8.8388 \times 10^{-4}$ ,  $\alpha_{u2} = 3.3179 \times 10^{-4}$ として(2)式より求めた値( $\alpha_{v2}$ )を同時に図-3のように描いてみた。両者のよい一致が認められる。 $R_v$ に関する同様にして、 $\alpha_{u1} = 6.4282 \times 10^{-4}$ ,  $\alpha_{v2} = \alpha_{u2}$ と決めた。次に、地震時の地盤ひずみについて考える。一般に、2

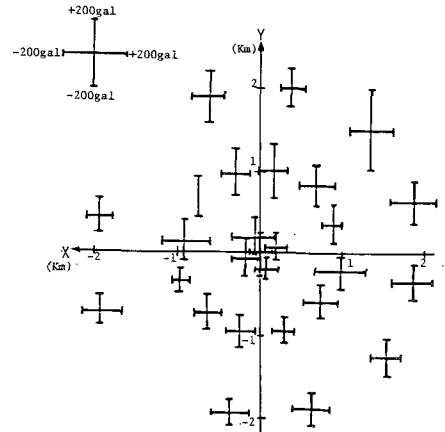


図-1 最大加速度の空間分布  
(SMART-1, Event 5)

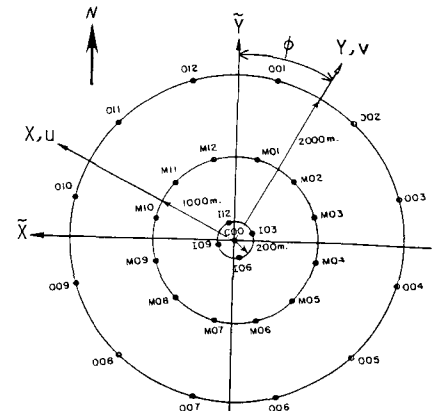


図-2 SMART-1 地震計アレー

$$R_x(\zeta) = \frac{1}{T_u} \int_0^{T_u} X(x, t) X(x + \zeta, t) dt \quad \cdots \cdots (1)$$

(1), (2)式において

$$X = u, v, \zeta = \{\zeta_1, \zeta_2\}^T, \alpha = \begin{bmatrix} \alpha_{u1}^2 & 0 \\ 0 & \alpha_{v1}^2 \end{bmatrix}$$

$$R_x(\zeta) = \alpha_x^2 \exp[-\zeta^T \alpha \zeta] \cdot [1 - 2(\alpha_{x1} \zeta_1)^2] \cdots (2)$$

$$\mathbb{B} = \lim_{\zeta \rightarrow 0} \mathbb{C} \cdot \mathbb{D} \cdots (3) \quad \mathbb{C} = \begin{bmatrix} E_{xx} & E_{xy} \\ E_{yx} & E_{yy} \end{bmatrix}, \quad \mathbb{D} = \begin{bmatrix} u(x + \zeta_1, y) - u(x, y), u(x, y + \zeta_2) - u(x, y) \\ v(x + \zeta_1, y) - v(x, y), v(x, y + \zeta_2) - v(x, y) \end{bmatrix}, \quad \mathbb{C} = \begin{bmatrix} \frac{1}{\zeta_1} & 0 \\ 0 & \frac{1}{\zeta_2} \end{bmatrix}$$

$$\mathbb{E}_{max} = \{E_{xmax}, E_{ymax}, V_{yxmax}\}^T \cdots (4) \quad \mathbb{C} = \mathbb{C}^*, E_{xmax} = E_{xxmax}, E_{ymax} = E_{yymax}, V_{yxmax} = \sqrt{(E_{xymax})^2 + (E_{yymax})^2}$$

次元歪は、(3)式のように各要素ごとに表現できよう。したがって、ひずみを求めるには、(3)式中のD<sub>2</sub>をえらぶる4種類の相対変位を求めなければならない。

この4種類の相対変位の最大値

$d_{max}$ は、確率的に計算すると次式により求められる。

$$\frac{d_{max}}{\sigma_D} = \begin{cases} \sqrt{2.6 \ln(5.0 \frac{A_0}{A})} & (A_0 \geq 0.43A) \\ \sqrt{2} & (\text{その他}) \end{cases}$$

ここで、  
 $\frac{d_{max}}{\sigma_D} = \left[ \frac{dx_{max}}{\sigma_{Dxx}}, \frac{dy_{max}}{\sigma_{Dyy}} \right] A = \begin{bmatrix} A_{Dxx}, A_{Dxy} \\ A_{Dyx}, A_{Dyy} \end{bmatrix}$

(5)式において、 $A_0$ 、Aはそれぞれ2次元がアソニ過程における対象領域面積、零を横切る平均面積であり、 $\sigma_D$ は相対変位の標準偏差で、上の関数として求められる。したがって、相対変位の最大値 $d_{max}$ は、2地点間距離 $s$ の関数として最終的に求めることができる。これより、(3)式により、ひずみ要素Bを上の関数として計算できる。図-4の実線は、Event 5のデータからこのようにして求めた相対変位の最大値 $d_{max}$ 、地盤ひずみ要素の最大値 $D_{max}$ と2地点間距離 $s$ の関係を示す。また、データから直接計算したものと $\{\bullet, \blacktriangle, \circ, \triangle\}$ で示している。なお、ひずみ要素は、(3)式の関係より、両対数軸の45°方向の軸として描かれている。このように、地震計アレーによる地震動記録の解析から、図-4で示すような“地盤変形スペクトル”を描くことにより、2地点間の最大相対変位や最大地盤ひずみ、平均波長などが次のように求められる。

3. 例題 図-4の“地盤変形スペクトル”を用いて、C-00地点 × M-07地点(図-2参照)の間の最大相対変位と平均最大ひずみを求めよう。まず、両地点の距離 $s$ を求めるところ $s_1 = 885\text{ m}$ ,  $s_2 = 471\text{ m}$ となる。それに対応する4種類の最大相対変位を図-4の実線から読み取ると、 $dx_{max} = 2.5\text{ cm}$ ,  $dy_{max} = 1.1\text{ cm}$ ,  $dy_{max} = 0.4\text{ cm}$ ,  $dy_{max} = 0.2\text{ cm}$ となる。最後に、(3), (4)式を用いて、平均最大地盤歪を計算すると、 $E_{max} = 2.8 \times 10^{-5}$ ,  $E_{y_{max}} = 4.3 \times 10^{-6}$ ,  $\gamma_{y_{max}} = 1.5 \times 10^{-5}$ が得られる。

(参考文献) 1) 関田隆夫 官崎大学工学部修士論文, "Probabilistic Analysis of Seismic Array Data". 1984.

2) Harada T. "Probabilistic Modeling of Spatial Variation of Strong Earthquake Ground Displacements" Proc of the 8th WCEE, 1984.

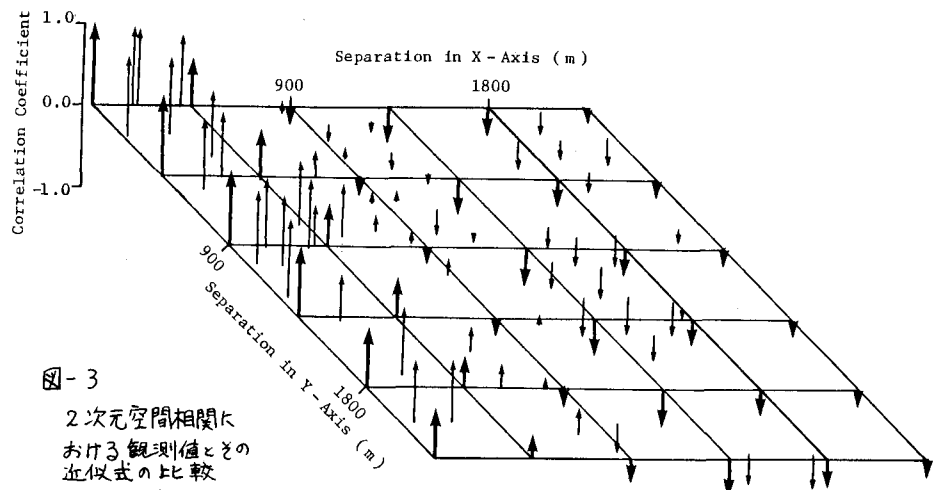


図-3

2次元空間相関係数における観測値とその近似式との比較

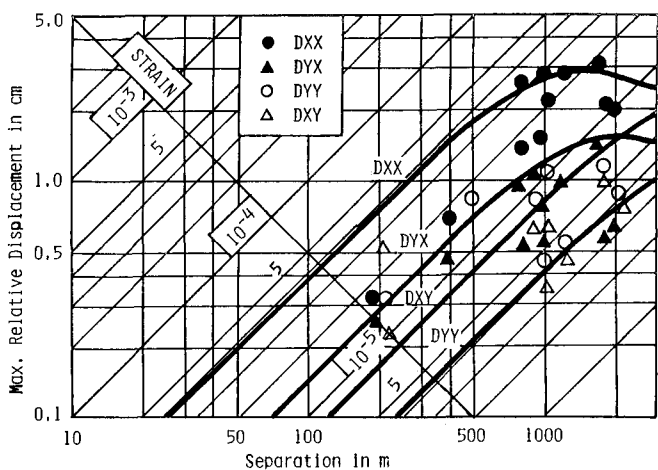


図-4 SMART 1 Event 5による地盤変形スペクトル

図-4の実線は、Event 5のデータからこのようにして求めた相対変位の最大値 $d_{max}$ 、地盤ひずみ要素の最大値 $D_{max}$ と2地点間距離 $s$ の関係を示す。また、データから直接計算したものと $\{\bullet, \blacktriangle, \circ, \triangle\}$ で示している。なお、ひずみ要素は、(3)式の関係より、両対数軸の45°方向の軸として描かれている。このように、地震計アレーによる地震動記録の解析から、図-4で示すような“地盤変形スペクトル”を描くことにより、2地点間の最大相対変位や最大地盤ひずみ、平均波長などが次のように求められる。

3. 例題 図-4の“地盤変形スペクトル”を用いて、C-00地点 × M-07地点(図-2参照)の間の最大相対変位と平均最大ひずみを求めよう。まず、両地点の距離 $s$ を求めるところ $s_1 = 885\text{ m}$ ,  $s_2 = 471\text{ m}$ となる。それに対応する4種類の最大相対変位を図-4の実線から読み取ると、 $dx_{max} = 2.5\text{ cm}$ ,  $dy_{max} = 1.1\text{ cm}$ ,  $dy_{max} = 0.4\text{ cm}$ ,  $dy_{max} = 0.2\text{ cm}$ となる。最後に、(3), (4)式を用いて、平均最大地盤歪を計算すると、 $E_{max} = 2.8 \times 10^{-5}$ ,  $E_{y_{max}} = 4.3 \times 10^{-6}$ ,  $\gamma_{y_{max}} = 1.5 \times 10^{-5}$ が得られる。

(参考文献) 1) 関田隆夫 官崎大学工学部修士論文, "Probabilistic Analysis of Seismic Array Data". 1984.

2) Harada T. "Probabilistic Modeling of Spatial Variation of Strong Earthquake Ground Displacements" Proc of the 8th WCEE, 1984.